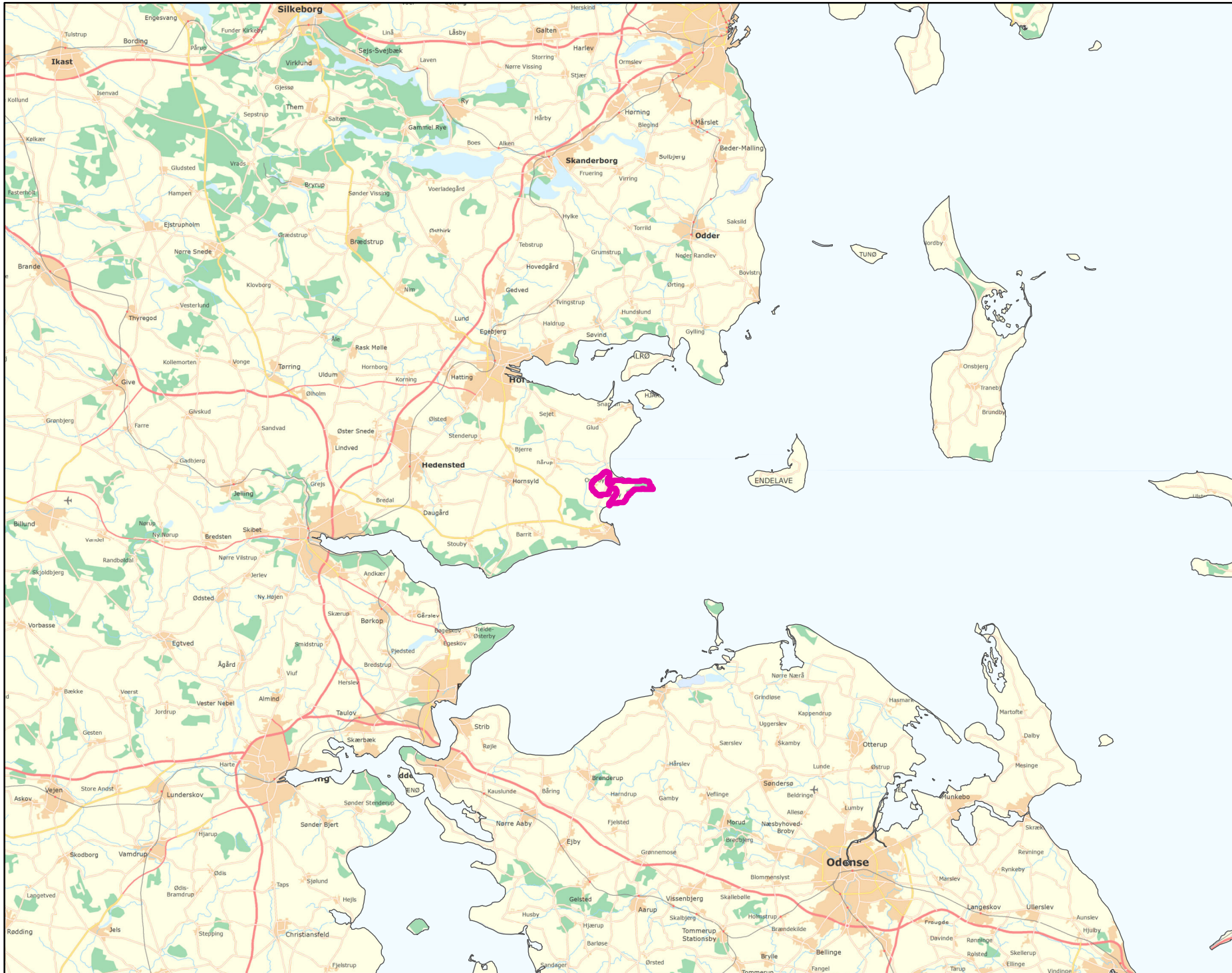


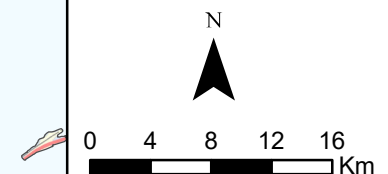


# DK109\_dkmj\_367\_ks

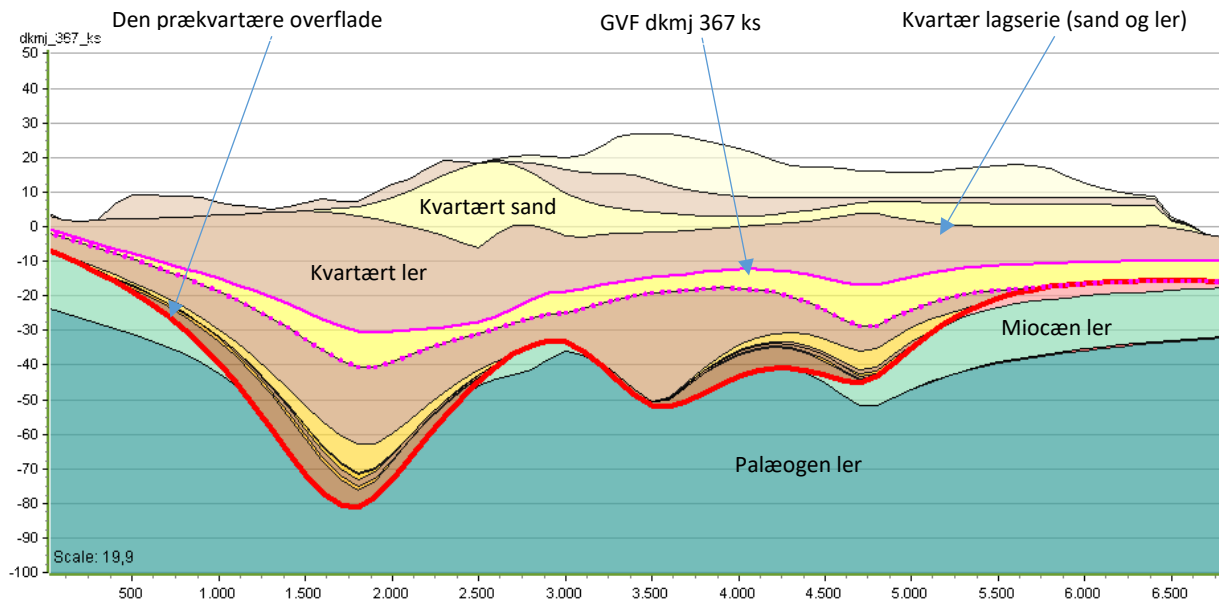
MFS



Målestok:  
1:500.000



**Oversigtsprofil:**



Figur 1: Udvalgt V-Ø profil gennem GVF dkmj 367 ks (hydrostratigrafisk model) /1/. Overhøjning 20X. For legende, se side 2.

**Kort beskrivelse af geologiske forhold:**

**Prækvartære aflejringer**

- De prækvartære aflejringer består af palæogen ler og herover miocæn ler (se figur 1) /1, 2/.
- Prækvartæroverfladen varierer mellem -85 m i de begravede dale til +50 m udenfor/i kanten af de begravede dale /1/.

**Kvartære aflejringer**

- Området udgør et leret morænelandskab, som mod vest er afgrænset af en N-S orienteret tunneldal /3/.
- De kvartære aflejringer består hovedsageligt af istidsaflejringer i form af vekslende lag af moræneler, smeltevandssand og -ler (figur 1) /1, 2/.
- GVF dkmj 367 ks er defineret ved KS3 i FOHM modellen. Lagets tykkelse varierer mellem 0 og ca. 45 m indenfor koteintervallet ca. kote -10 til ca. kote +50 /1/.

**Begravede dale**

- GVF udgør et kvartært sandlag indenfor et begravet tunneldalsystem. Dalene er eroderet ned i den prækvartære lagserie. Dalene er udfyldt med moræneler og smeltevandssand og -ler, hvor leret dominerer /2/.

**Deformationer af lagserien**

- VSV for GVF er der fundet tegn på glacialtektoniske forstyrrelser af lagserien (Klejs Flagen) /4/, hvilket betyder, at glacialtektoniske forstyrrelser sandsynligvis også forekommer indenfor GVF.

**Referencer:**


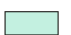



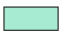
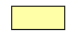



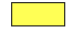
















- /1/ Miljøstyrelsen, 2019: FOHM-model for Jylland. Hydrostratigrafisk model.  
 /2/ Sandersen, P.B.E. & Jørgensen (2016). Kortlægning af begravede dale i Danmark. Opdatering 2010-2015. GEUS Særudgivelse, bind 1 og 2. ([www.begravededale.dk](http://www.begravededale.dk))  
 /3/ Smed, P. 1981: Landskabskort over Danmark.  
 /4/ Stockmarr, J., 1978: Den prækvartære overflade ved Juelsminde, Danmark. Danm. geol. Unders. Årbog 1976, p. 49-52.

Udført af: PSA

Dato: 14.09.2020

**Legende til profil i figur 1:**

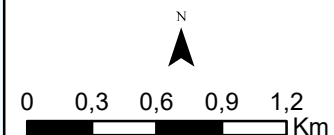
**Jylland hydrostratigrafiske lag**

 Kvartært ler KL1	 Prekvartært ler PKL1
 Kvartært sand KS1	 Prekvartært sand PS1
 Kvartært ler KL2	 Prekvartært ler PL2
 Kvartært sand KS2	 Prekvartært sand PS2
 Kvartært ler KL3	 Prekvartært ler PL3
 Kvartært sand KS3	 Prekvartært sand PS3
 Kvartært ler KL4	 Prekvartært ler PL4
 Kvartært sand KS4	 Prekvartært sand PS4
 Kvartært ler KL5	 Prekvartært ler PL5
 Kvartært sand KS5	 Prekvartært sand PS5
 Kvartært ler KL6	 Prekvartært ler PL6
 Kvartært sand KS6	 Prekvartært sand PS6
 Kvartært ler KL7	 Prekvartært ler PL7
	 Kalk

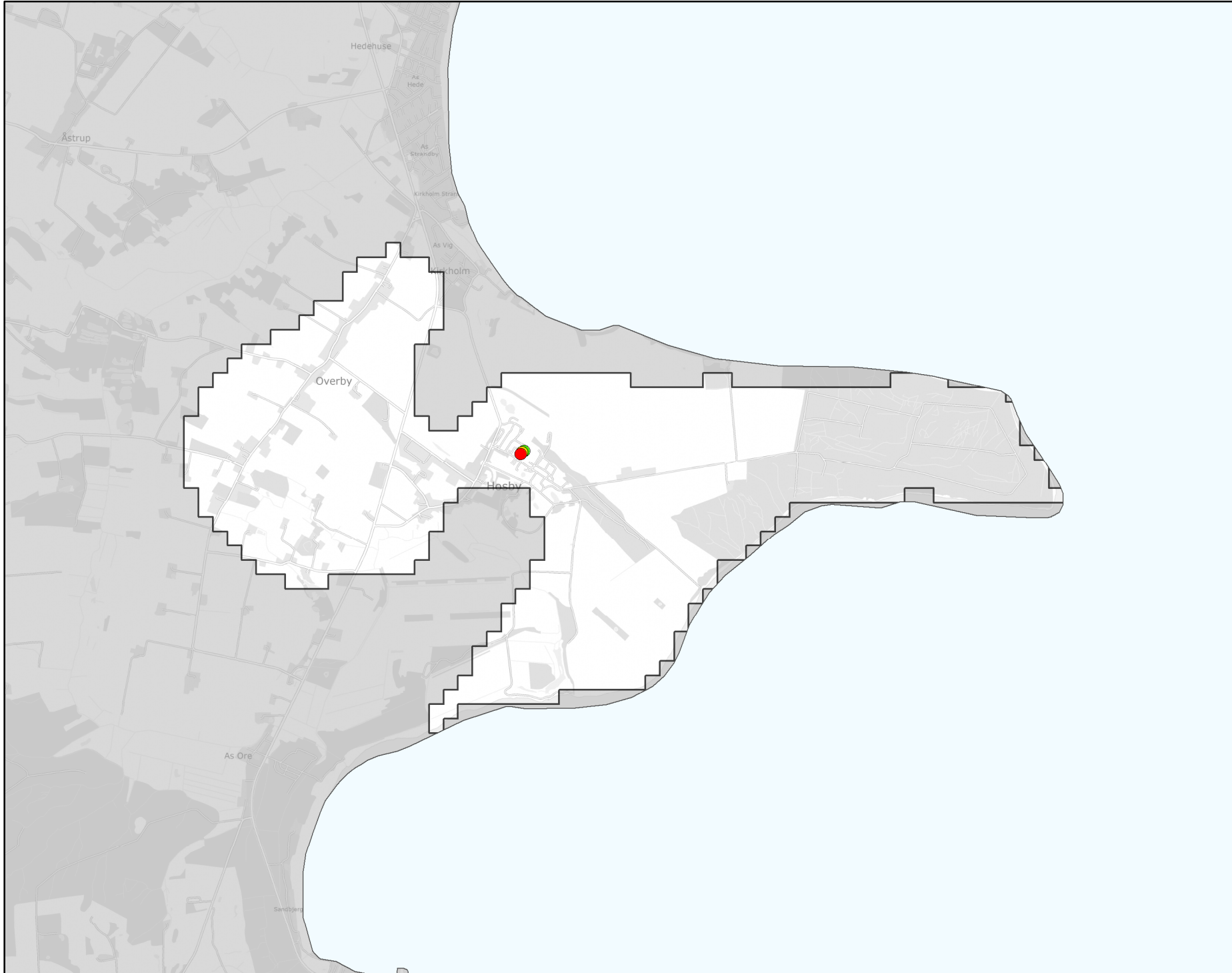
- Terræn striber
- Bundmoræneflade
- Erosionsdal
- Strandvold
- Marin flade
- Spaltetdal



Legende til Per Smeds kort findes seperalt.



Stofkode	Overskridelser_procent	Antal_overskridelser	Analyserede_indtag	
Chlorerede opløsningsmidler	Chlorerede opløsningsmidler	Chlorerede opløsningsmidler	Chlorerede opløsningsmidler	
Sum_Ch_l opl		50	2	4
2617_Tetrachlorethylen		50	2	4
2618_Trichlorethylen		0	0	4
404_Cis_1_2_dichlorethylen		0	0	4
407_1_1_Dichlorethylen		0	0	3
408_Trans_1_2_dichloreth		0	0	3
9946_Vinylchlorid		0	0	3
2621_1_1_1_trichlorethan		0	0	4
4542_1_1_dichlorethan			0	0
3117_Chlorethan			0	0
9422_1_2_dichlorethan		0	0	4
2616_Tetrachlormethan		0	0	4
2612_Chloroform		0	0	4
2624_Dichlormethan		0	0	3
Chl_Individuel_indtag		50	2	4
BTEXN	BTEXN	BTEXN	BTEXN	
662_Benzen			0	0
665_Toluen			0	0
3007_Ethylbenzen			0	0
2662_O_xylen			0	0
2664_M_P_xylen			0	0
649_Naphtalen			0	0
BTEXN_Individuel_indtag			0	0
PHENOLER	PHENOLER	PHENOLER	PHENOLER	
2676_Phenol			0	0
2678_3_methylphenol			0	0
2680_2_methylphenol			0	0
2681_4_methylphenol			0	0
2682_3_4_dimethylphenol			0	0
2683_3_5_dimethylphenol			0	0
2684_2,6-dimethylphenol			0	0
2685_2_4_dimethylphenol			0	0
2697_2_5_dimethylphenol			0	0
2679_2_3Dimethylphenol			0	0
Phenoler_Individuel_indtag			0	0
MTBE	MTBE	MTBE	MTBE	
490_MTBE			0	0
Vandopløselige opløsningsmidler	Vandopløselige opløsningsmidler	Vandopløselige opløsningsmidler	Vandopløselige opløsningsmidler	
3047_Diethylether			0	0
658_2_propanol			0	0
664_Methyl_isobutylketon			0	0
VANDopl_individuel_indtag			0	0
PFAS	PFAS	PFAS	PFAS	
Sum_PFAS			0	0
2266_Perfluorbutansyre			0	0
2283_Perfluorpentansyre			0	0
2270_Perfluorohexansyre			0	0
2271_Perfluoroheptansyre			0	0
2272_Perfluoroktansyr			0	0
2273_Perfluorononansyre			0	0
2275_Perfluorodecansyre			0	0
2281_Perfluorbutansulfonsyre			0	0
2267_Perfluorhexansulfonsyre			0	0
2268_Perfluoroktansulfonsyre			0	0
2274_Perfluoroktansulfonamid			0	0
2287_1H_1H_2H_2H_Perfluoroktansulfonsyre			0	0
PFAS_individuel_indtag			0	0
Cyanider	Cyanider	Cyanider	Cyanider	
656_Cyanid_Syreflygtigt			0	0
654_Cyanid_Total			0	0
Cyanid_individuel_indtag			0	0
ALLE INDTAG	ALLE INDTAG	ALLE INDTAG	ALLE INDTAG	
Overskridelser_individuelle_indtag		50	2	4



**MFS (maks. MAM)**

**Chorerede opl.**

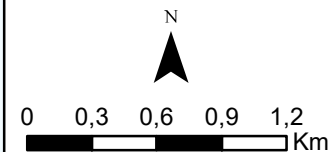
- Konc. <= QL
- QL < Konc. <= TV
- TV < Konc. <= 10 TV
- 10 TV < Konc. <= 1000 TV
- Konc. > 1000 TV

**BTEXN**

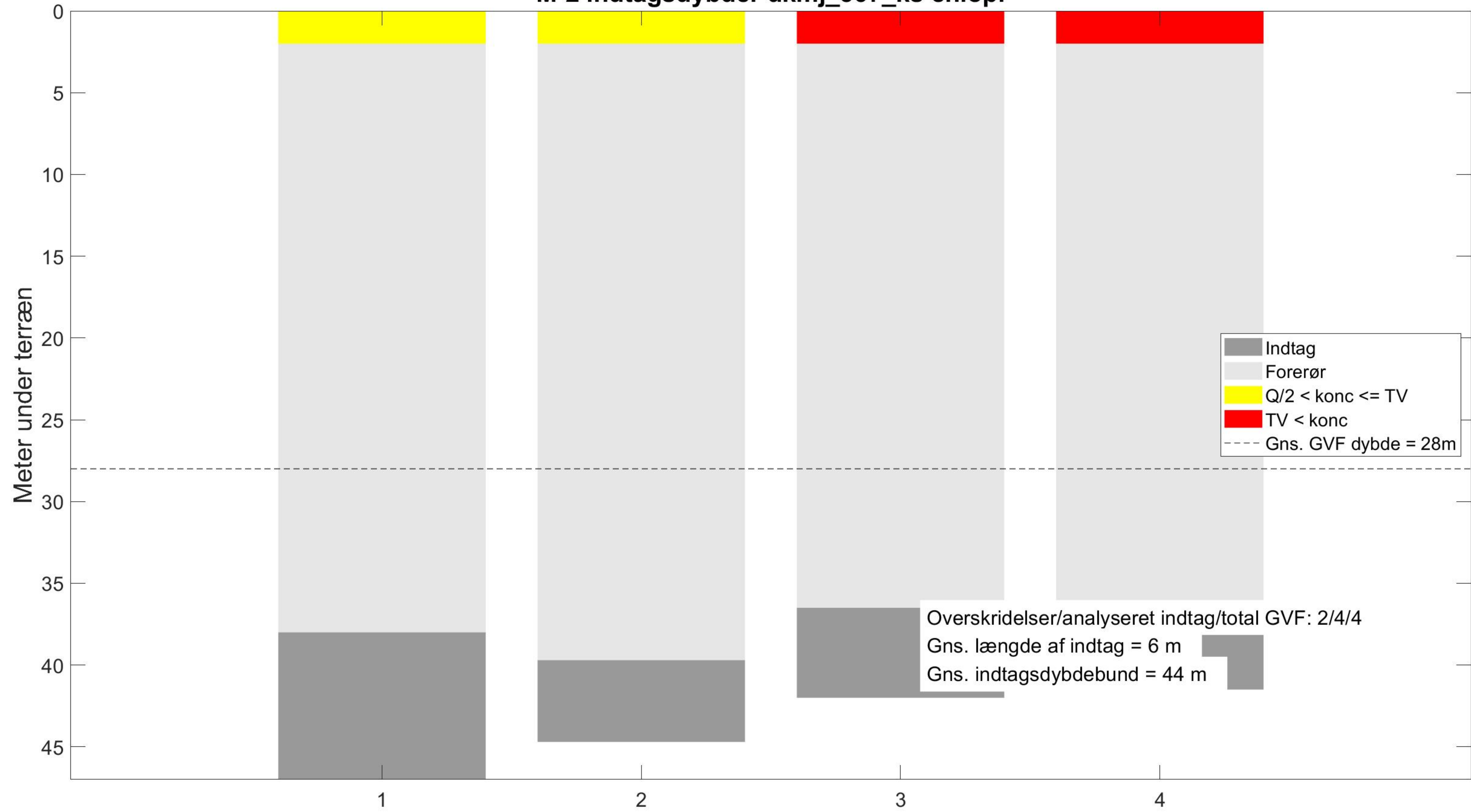
- Konc. <= QL
- QL < Konc. <= TV
- TV < Konc. <= 10 TV
- 10 TV < Konc. <= 1000 TV
- Konc. > 1000 TV

**Øvrige stofgrupper**

- ▲ Konc. <= QL
- ▲ QL < Konc. <= TV
- ▲ TV < Konc. <= 10 TV
- ▲ 10 TV < Konc. <= 1000 TV
- ▲ Konc. > 1000 TV



# M-2 indtagsdybder dkmj\_367\_ks chlopl





# M-2 indtagsdybder dkmj\_367\_ks BTEXN



# M-2 indtagsdybder dkmj\_367\_ks Phenoler



## M-2 indtagsdybder dkmj\_367\_ks MTBE



# M-2 indtagsdybder dkmj\_367\_ks Vandopl



Ingen analyser

## M-2 indtagsdybder dkmj\_367\_ks PFAS



# M-2 indtagsdybder dkmj\_367\_ks Cyanid, total

